

151 Р-250/3
996

ISSN 0033-8486

152

РАДИОТЕХНИКА

3 1996

ЖУРНАЛ В ЖУРНАЛЕ

РАДИОСИСТЕМЫ

Выпуск 10

ЭЛЕКТРОМАГНИТНЫЕ ВОЛНЫ № 2

ИПРЖР

Квазиправдоподобная оценка частоты случайного сигнала с неизвестной полосой частот

А.П.Трифонов, С.П.Алексеенко

Выполнен анализ измерителя частоты узкополосного гауссовского стационарного случайного сигнала на фоне белого шума; найдены характеристики оценок частоты экспоненциально коррелированного процесса и процесса с прямоугольным спектром мощности.

Во многих прикладных задачах статистической радиотехники необходимо производить измерение несущей частоты флюктуирующих сигналов [1—4]. При гауссовых флюктуациях радиосигнала эта задача сводится к оценке смещения ν_0 центральной частоты спектра мощности узкополосного центрированного гауссовского случайного процесса

$$S(t, \nu_0) = a(t) \cos[(\omega_0 + \nu_0)t + \varphi(t)], \quad 0 < t < T, \quad (1)$$

принимаемого на фоне гауссовского белого шума с односторонней спектральной плотностью N_0 . Согласно [1], спектр мощности сигнала (1)

$$G(\omega, \nu_0, \theta_0) = \frac{G_0}{2} \left[f\left(\frac{\omega_0 + \nu_0 + \omega}{\theta_0}\right) + f\left(\frac{\omega_0 + \nu_0 - \omega}{\theta_0}\right) \right], \quad (2)$$

где $f(x)$ определяет форму спектра мощности и удовлетворяет условиям $f(x) = f(-x)$, $\max f(x) = 1$, $\int_{-\infty}^{\infty} f^2(x) dx = 1$, $\theta = \int_{-\infty}^{\infty} G^2(\omega, \nu) d\omega [2 \max G^2(\omega, \nu)]^{-1}$ — эквивалентная полоса частот сигнала (1).

В [2—4] оценка частоты случайного сигнала исследовалась в предположении, что полоса частот θ_0 сигнала (1) априори известна.

Цель работы — определение посторонней оценки частоты ν_0 случайного сигнала (1) из-за незнания его полосы частот θ_0 .

Полагая сигнал (1) узкополосным ($\omega_0 \gg \theta$ и $\omega_0 \gg \nu$), обозначим $\mu = T\theta_0/2\pi$. При $\mu \gg 1$ логарифм функционала отношения правдоподобия (ФОП) [2, 3]

$$M(\nu, \theta) = \frac{1}{2} \int_0^T x^2(t, \nu, \theta) dt - \frac{T\theta}{4\pi} \int_{-\infty}^{\infty} \ln [1 + qf(x)] dx, \quad (3)$$

где $q = G_0/N_0$; $x(t, \nu, \theta)$ — отклик фильтра с передаточной функцией $H(i\omega, \nu, \theta)$ на реализацию наблюдаемых данных, причем

$$K(\nu_1, \nu_2) = \mu q^2 (1 + \delta\theta) \int_{-\infty}^{\infty} \frac{f(x - \nu_1/\theta^*) f(x - \nu_2/\theta^*) \{1 + qf[x(1 + \delta\theta) - \nu_0/\theta_0]\}^2}{[1 + qf(x - \nu_1/\theta^*)][1 + qf(x - \nu_2/\theta^*)]} dx. \quad (6)$$

Здесь $\delta\theta = (\theta^* - \theta_0)/\theta_0$. Когда $|\delta\theta| < 1$, сигнальная функция (5) достигает максимума при

$$|H(i\omega, \nu, \theta)|^2 = 2G(\omega, \nu, \theta) \{N_0[N_0/2 + G(\omega, \nu, \theta)]\}^{-1}.$$

Оценка максимального правдоподобия (ОМП) [1, 2] несущей частоты сигнала (1) с неизвестной полосой частот определяется как соответствующая координата наибольшего максимума случайной функции двух переменных (3). Необходимость формирования случайной функции (3) двух переменных ν и θ во всей области их возможных значений существенно затрудняет техническую реализацию алгоритма максимального правдоподобия [2]. Поэтому целесообразно рассмотреть квазиправдоподобную оценку (КПО) частоты $\hat{\nu}$, которую определим как положение наибольшего максимума члена логарифма ФОП (3), зависящего от частоты ν

$$M^*(\nu) = M(\nu, \theta^*) = \frac{1}{2} \int_0^T x^2(t, \nu, \theta^*) dt, \quad (4)$$

где θ^* — ожидаемое значение полосы частот случайного сигнала.

В общем случае $\theta^* \neq \theta_0$, если же $\theta^* = \theta_0$, то, очевидно, КПО $\hat{\nu}$ совпадает с ОМП ν_m сигнала, полоса частот которого точно известна. Аналогично [2, 3], для (4) справедливо представление

$$M^*(\nu) = S(\nu) + N(\nu) + C,$$

где $C = \mu\theta^* q \int_{-\infty}^{\infty} f(x)[1 + qf(x)]^{-1} dx / \theta_0$ — несущественная постоянная;

$$S(\nu) = \mu q^2 \int_{-\infty}^{\infty} \frac{f[x/(1 + \delta\theta)] f[x - (\nu - \nu_0)/\theta_0]}{1 + qf[x/(1 + \delta\theta)]} dx \quad (5)$$

— сигнальная функция; $N(\nu) = M^*(\nu) - \langle M^*(\nu) \rangle$ — шумовая функция, которую при $\mu \gg 1$ можно считать реализацией центрированного гауссовского процесса [1, 2] с корреляционной функцией

$\nu = \nu_0$. Если к тому же $\mu \gg 1$, то оценка будет несмещенной, а дисперсия оценки [2]

$$D(\hat{\nu}) = \frac{\partial^2 K(\nu_1, \nu_2)}{\partial \nu_1 \partial \nu_2} \left[\frac{\partial^2 S(\nu)}{\partial \nu^2} \right]^{-2} \Big|_{\nu_1=\nu_2=\nu=\nu_0}. \quad (7)$$

Подставляя (5), (6) в (7), находим

$$\begin{aligned} D(\hat{\nu}) &= \frac{\theta_0^2}{\mu q^2(1 + \delta\theta)} \times \\ &\times \int_{-\infty}^{\infty} \left[\frac{df(x)}{dx} \right]^2 \frac{\{1 + qf[x/(1 + \delta\theta)]\}^2}{\{1 + qf(x)\}^4} dx \times \\ &\times \left\{ \int_{-\infty}^{\infty} \frac{d^2 f(x)}{dx^2} \frac{f[x/(1 + \delta\theta)]}{1 + qf[x/(1 + \delta\theta)]} dx \right\}^{-2}. \end{aligned} \quad (8)$$

Отметим, что при $\mu \rightarrow \infty$, т. е. при неограниченном увеличении времени наблюдения T , согласно (8), $D(\hat{\nu}) \rightarrow 0$. Полагая в (8) $\delta\theta = 0$, получаем дисперсию ОМП ν_m несущей частоты случайного сигнала с априори известной полосой частот [2,3]

$$\begin{aligned} D(\nu_m) &= D(\hat{\nu}) \Big|_{\delta\theta=0} = \\ &= \theta_0^2 \left\{ \mu q^2 \int_{-\infty}^{\infty} \left[\frac{df(x)}{dx} \right]^2 \left[1 + qf(x) \right]^{-2} dx \right\}^{-1}. \end{aligned} \quad (9)$$

Формула (8) для дисперсии КПО несколько упрощается в случае слабого сигнала (когда $q \ll 1$) и принимает вид

$$\begin{aligned} D(\hat{\nu}) &= \frac{\theta_0^2}{\mu q^2(1 + \delta\theta)} \int_{-\infty}^{\infty} \left[\frac{df(x)}{dx} \right]^2 dx \times \\ &\times \left\{ \int_{-\infty}^{\infty} \frac{d^2 f(x)}{dx^2} f[x/(1 + \delta\theta)] dx \right\}^{-2}. \end{aligned}$$

В качестве примера рассмотрим оценку частоты случайного сигнала, форма спектра мощности которого описывается функцией

$$f(x) = \left[1 + (\pi x/2)^2 \right]^{-1}. \quad (10)$$

Спектру мощности (2), (10) соответствует корреляционная функция

$$K(\tau, \nu) = (G_0 \theta / 2\pi) \exp(-2\theta |\tau|/\pi) \cos(\omega_0 + \nu)\tau.$$

Подставляя (10) в (8) и (9), находим проигрыш в точности оценки частоты из-за незнания полосы случайного сигнала

$$\begin{aligned} \chi_1 &= \frac{D(\hat{\nu})}{D(\nu_m)} = |(1 + \delta\theta)\sqrt{1 + q}((1 + \delta\theta)^4 + 10(1 + \delta\theta)^2 + 5) + \\ &+ 5(1 + \delta\theta)^4 + 2(1 + \delta\theta)^2(4q + 5) + 1| \times \\ &\times |(1 + \delta\theta)\sqrt{1 + q} + 1| \{2(1 + \delta\theta)(1 + \sqrt{1 + q})\}^{-3}. \end{aligned} \quad (11)$$

На рис.1 приведены зависимости проигрыша χ_1 (11) от $\delta\theta$. Кривая 1 построена для $q = 0,3$; 2 — $q = 1$; 3 — $q = 5$. Анализ приведенных кривых показывает, что зависимость проигрыша χ_1 от q относительно слабая. Кроме того, как видно из (11), величина χ_1 не зависит от μ , т. е. увеличение времени наблюдения T не изменяет проигрыша в точности КПО.

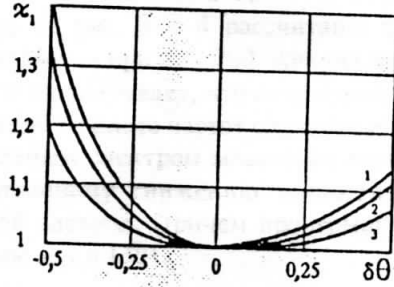


Рис. 1

На рис.2 приведены зависимости проигрыша χ_1 от q . Кривая 1 построена для $\delta\theta = +0,1$; 2 — $\delta\theta = -0,1$; 3 — $\delta\theta = +0,3$; 4 — $\delta\theta = -0,3$. Как следует из рис.2, при $|δθ| < 0,3$ дисперсия КПО превосходит дисперсию ОМП не более чем на 10 %.

Формулы (8) — (10) позволяют определить

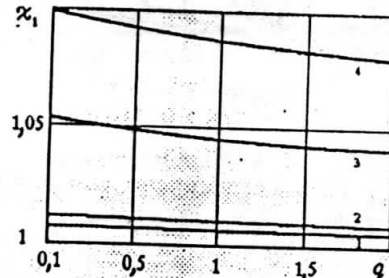


Рис. 2

потери в точности оценки частоты случайного сигнала из-за незнания его полосы частот лишь в случае, когда функция $f(x)$, описывающая форму спектра мощности, дифференцируема хотя бы дважды. Однако, полученные формулы не применимы, когда спектр мощности (2) сигнала (1) не дифференцируем. Таким спектром мощности обладает полосовой случайный сигнал [4], для которого $f(x) = 1$ (когда $|x| < 1/2$) и $f(x) = 0$ (когда $|x| > 1/2$). При обработке полосового сигнала функции (5), (6) принимает вид

$$S(\nu) \equiv S(l) =$$

$$= \frac{\mu q^2}{1+q} \begin{cases} \min(1, 1 + \delta\theta), |l - l_0| \leq |\delta\theta|/2, \\ \max(1 + \delta\theta/2 - |l - l_0|, 0), |l - l_0| > |\delta\theta|/2, \end{cases} \quad (12)$$

$$\begin{aligned} K(\nu_1, \nu_2) &\equiv K(l_1, l_2) = \mu q^2 \{ \max(1 + \delta\theta - |l_1 - l_2|, 0) + \\ &+ q(2 + q) \max(|l_1 + \delta\theta/2 - l_2|, 0), |l_1 - l_2| > |\delta\theta|/2, \\ &+ \min(|l_1 - l_2 - \delta\theta/2|, 0) \} (1 + q)^{-2}, \end{aligned} \quad (13)$$

где $l = \nu/\theta_0$, $l_i = \nu_i/\theta_0$, $i = 0, 1, 2$.

Используя (12), (13) и метод локально-марковской аппроксимации [4,5], для дисперсии КПО частоты полосового сигнала получаем

$$D(\hat{\nu}) = \theta_0^2 \left\{ \frac{\delta\theta^2}{8} + \exp\left(\frac{z^2 A |\delta\theta|}{B^2}\right) \times \right. \\ \times \left[1 - \Phi\left(\frac{z\sqrt{2A}|\delta\theta|}{B}\right) \right] \left[\frac{13B^2}{z^4} + \frac{|\delta\theta|}{z^2} (3B - 16A) + \right. \\ + 4\delta\theta^2 \frac{A}{B} \left(\frac{3A}{B} - 1 \right) + 4|\delta\theta| z^2 \frac{A^2}{B^3} \left(1 - \frac{4A}{3B} \right) \left. \right] + \\ + \left[\frac{13B\sqrt{A}}{z^3} + \frac{|\delta\theta| \sqrt{A}}{z} \left(3 - \frac{22A}{3B} \right) + \right. \\ \left. \left. + 2z\delta\theta^2 \frac{A\sqrt{A}}{B^2} \left(\frac{4A}{3B} - 1 \right) \right] \sqrt{\frac{|\delta\theta|}{\pi}} \right\}. \quad (14)$$

Здесь $z^2 = \mu q^2$, $A = [1 + q(1\delta\theta| - \delta\theta)/2|\delta\theta|]^2$, $B = [1 + (1+q)^2]/2$, $\Phi(\cdot)$ — интеграл вероятности [1].

Отметим, что при $\mu \rightarrow \infty$, т. е. при неограниченном увеличении времени наблюдения из (14) имеем: $D(\hat{\nu}) \rightarrow (\theta^* - \theta_0)^2/8 > 0$. Отсюда следует, что рассеяние КПО центральной частоты полосового случайного сигнала ограничено снизу постоянной величиной, в общем случае не равной нулю. Поэтому неизвестие ширины спектра мощности полосового случайного сигнала, в отличие от сигнала с дифференцируемым спектром мощности, не позволяет добиться идеальной точности КПО центральной частоты посредством неограниченного увеличения времени наблюдения T .

Полагая в (14) $\delta\theta = 0$, получаем дисперсию ОМП ν_m центральной частоты случайного полосового сигнала с априори известной полосой частот [4]

$$D(\hat{\nu}_m) = D(\hat{\nu}) \Big|_{\delta\theta=0} = 13\pi^2 [1 + (1+q)^2]^2 / 2T^2 q^4. \quad (15)$$

Формула (14) для дисперсии КПО центральной частоты полосового сигнала несколько упрощается в случае слабого сигнала, когда $q \ll 1$. При этом $A \approx B \approx 1$ и (14) принимает вид

$$D(\hat{\nu}) = \theta_0^2 \left\{ \frac{\delta\theta^2}{8} + \exp(z^2 |\delta\theta|) [1 - \Phi(z\sqrt{2}|\delta\theta|)] \times \right. \\ \times \left[\frac{13}{z^4} - \frac{13|\delta\theta|}{z^2} + 8\delta\theta^2 - \frac{4}{3} z^2 |\delta\theta|^3 \right] + \\ + \left[\frac{13}{z^3} - \frac{13|\delta\theta|}{3z} + \frac{2}{3} z\delta\theta^2 \right] \sqrt{\frac{|\delta\theta|}{\pi}} \right\}.$$

Используя (14) и (15), находим проигрыш в точности оценки частоты из-за неизвестия полосы частот случайного сигнала $\chi_2 = D(\hat{\nu})/D(\nu_m)$.

На рис.3 приведены зависимости проигрыша χ_2 от $\delta\theta$, на рис.4 — зависимости χ_2 от q . Графики на рис.3 и 4 построены для тех же значений q , $\delta\theta$, что и графики на рис. 1 и 2 соответственно. Сплошные кривые на рис. 3 и 4 рассчитаны при $\mu = 100$, а штриховые — при $\mu = 200$. Анализ зависимостей на рис. 3 и 4 показывает, что отсутствие априорной информации о полосе частот случайного сигнала с прямоугольным спектром мощности может привести к существенному снижению точности оценки центральной частоты. Причем проигрыш увеличивается с ростом q , μ и $|\delta\theta|$.

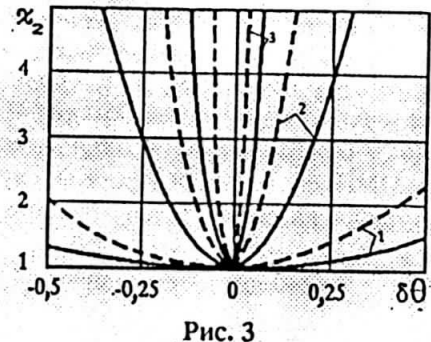


Рис. 3

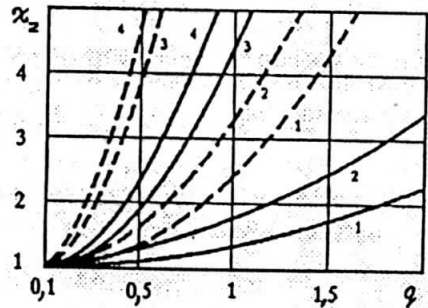


Рис. 4

Полученные результаты позволяют сделать обоснованный выбор между КПО и ОМП частоты случайного сигнала в зависимости от имеющейся априорной информации о его полосе частот и от требований к точности измерения частоты.

Литература

1. Тихонов В.И. Статистическая радиотехника. — М.: Радио и связь, 1982.
2. Куликов Е.И., Трифонов А.П. Оценка параметров сигналов на фоне помех. — М.: Сов. радио, 1978.
3. Трифонов А.П., Енца Е.П. — Радиотехника, 1983, №8.
4. Трифонов А.П. — Радиотехника и электроника, 1980, т.25, №4.
5. Трифонов А.П., Шинаков Ю.С. Совместное различение сигналов и оценка их параметров на фоне помех. — М.: Радио и связь, 1986.

Поступила после доработки 6 сентября 1993 г.